

ЗАЛЕЖНІСТЬ СПЕКТРА ЕЛЕКТРОНА НАПРУЖЕНОЇ ГЕТЕРОСТРУКТУРИ ZnSe/GaAs ВІД ВІДСТАНІ МІЖ ДИСЛОКАЦІЯМИ НЕВІДПОВІДНОСТІ

Р. М. Пелешак¹, Б. А. Лукіянець², В. П. Тупичак¹

¹Дрогобицький державний педагогічний університет імені Івана Франка,
вул. І. Франка, 24, Дрогобич, 82100, Львівська обл., Україна

²Державний університет “Львівська політехніка”,
вул. С. Бандери, 12, Львів, 79013, Україна

(Отримано 22 вересня 1999 р.; в остаточному вигляді — 23 травня 2000 р.)

У рамках моделі деформаційного потенціалу отримано вираз для усередненого деформаційного потенціалу, створеного дислокаційною стінкою залежно від відстані d між дислокаціями невідповідності. Показано, що в гетероструктурах з дислокаціями невідповідності енергія основного стану електрона залежно від міждислокаційної відстані змінюється немонотонно.

Ключові слова: гетероструктури, деформаційний потенціал, дислокації невідповідності.

PACS number(s): 73.20.At, 73.20.Dx

I. ВСТУП

Гетероепітаксія напівпровідників з різними постійними ґраток вимагає обмежень у критичних товщинах епітаксіальних шарів. Зокрема, в [1] експериментально досліджено, що нарощувані гетероепітаксіальні шари ZnSe можуть бути як розтягнуті, так і стиснуті. Характер деформації в цьому випадку залежить від відстані h між шаром ZnSe й гетеромежею. У шарах ZnSe, товщини яких менші, ніж критичне значення h_c ($0 < h < h_c$, для ZnSe $h_c \simeq 0.15$ мкм [1]), виникають двовісні деформації стиску в площині, паралельній до гетероплощини, однакові для всіх шарів, які зумовлені розбіжністю параметрів ґраток контактуючих кристалічних систем. Ці деформації поступово спадають у діпазоні $h_c < h < h_1 \approx 0.88$ мкм завдяки появі при h_c дислокацій невідповідності, які вибудовуються паралельно одна до одної на приблизно однаковій відстані “ d ” в стінку [1–4] (рис. 1).

У цій праці в рамках моделі деформаційного потенціалу [5] розраховано спектр електронних станів у потенціальної ямі, створеній стінкою дислокацій невідповідності залежно від відстані d між дислокаціями в ZnSe/GaAs.

II. МОДЕЛЬ ПОТЕНЦІАЛЬНОЇ ЯМИ, СТВОРЕНОЇ СТІНКОЮ ДИСЛОКАЦІЙ

Деформація $U_{mech.}(x, y) = Sp\hat{U}_{mech.}(x, y)$, створена дислокаційною стінкою краєвих дислокацій у ZnSe (площина ZOY) на відстані $h_c(OX)$ від межі контактуючих кристалічних систем ZnSe/GaAs (рис. 1), може бути описана співвідношенням [6]

$$U_{mech.}(x, y) = \frac{U_0 \sin(\theta y)}{[\text{ch}(\theta|x|) - \cos(\theta y)]d}, \quad (1)$$

де $U_0 = \frac{b(1-2\nu)}{2(1-\nu)}$ ($\mathbf{b} = (b, 0, 0)$ - вектор Бюргерса, ν — коефіцієнт Пуассона, для ZnSe $\nu \simeq 0.27$), $\theta = \frac{2\pi}{d}$.

Оскільки пружна енергія локалізована в області товщиною d , яка прилягає до стінки дислокацій [4], то параметр механічної деформації $U_{mech.}(x, y)$ практично відрізняється від нуля тільки в об'ємі $\sim 2d\Delta a^2$ ($\Delta a = a_2 - a_1$, a_1, a_2 — параметри ґраток ZnSe і GaAs у площині нарощуваного шару). У результаті, замість параметра механічної деформації $U_{mech.}(x, y)$ у деформаційному потенціалі $V_{mech.}(x, y) = -|a_c|U_{mech.}(x, y)$ (a_c — константа деформаційного потенціалу, для ZnSe $a_c = -3.65\text{eV}$ [8]), можна скористатись його середнім значенням, тобто $\bar{U}_{mech.}$

$$\bar{U}_{mech.} = \frac{1}{2d} \lim_{\Delta a \rightarrow 0} \frac{1}{\Delta a} \int_{-d}^{+d} \int_{a_1}^{a_2} U_{mech.}(x, y) dx dy. \quad (2)$$

Підставимо вираз $U_{mech.}(x, y)$ (1) у формулу (2) і проінтегруємо за y . Матимемо:

$$\bar{U}_{mech.} = \frac{U_0}{\theta} \frac{1}{2d^2} \int_{-d}^{+d} F(x) dx, \quad (3)$$

де

$$F(x) = \lim_{\Delta a \rightarrow 0} \frac{1}{\Delta a} \ln \left| \frac{A(x) - \cos(\theta a_2)}{A(x) - \cos(\theta a_1)} \right|, \quad (4)$$

$$A(x) = \text{ch}(\theta|x|).$$

Оскільки деформація локалізована в околі стінки дислокації $x \sim 0$ [4,7], то $A(x) \simeq 1$. Ураховуючи останню умову,

$$F \simeq \lim_{\Delta a \rightarrow 0} \frac{1}{\Delta a} \ln \left| \frac{1 - \cos(\theta a_2)}{1 - \cos(\theta a_1)} \right|$$

$$= \lim_{\Delta a \rightarrow 0} \frac{1}{\Delta a} \ln \left| \frac{\sin^2(\frac{\theta}{2} a_2)}{\sin^2(\frac{\theta}{2} a_1)} \right| = \frac{2\pi}{d} \text{ctg} \left(\frac{\pi a_1}{d} \right). \quad (5)$$

Підставивши (5) у (3) і проінтегрувавши, отримаємо

$$\bar{U}_{mech.} = \frac{U_0}{d} \text{ctg} \left(\frac{\pi a_1}{d} \right), \quad d \neq \frac{a_1}{k}, \quad k = 1, 2, 3 \dots \quad (6)$$

Таким чином, потенціально деформаційну яму для електрона, створену стінкою дислокацій, можна описати двовірним усередненим потенціалом

$$\bar{V}_{mech.} = \begin{cases} -|a_c|U_0 \cdot \frac{\text{ctg}(\frac{\pi a_1}{d})}{d}, & 0 \leq \rho \leq d, \\ 0, & \rho > d, \end{cases} \quad (7)$$

де $\rho = \{x, y\}$;

Як видно з формули (7), при $d > \frac{2a_1}{2k+1}$ потенціал $\bar{V}_{mech.}$ має притягувальний характер, а при $\frac{a_1}{k+1} < d < \frac{2a_1}{2k+1}$ — відштовхувальний.

Зі збільшенням відстані d між дислокаціями невідповідності глибина $\bar{V}_{mech.}$ потенціальної деформаційної ями (7) зменшується і при $d \rightarrow \infty$ дорівнює

$$\bar{V}_{mech.}(d \rightarrow \infty) = -\frac{|a_c|U_0}{\pi a_1}. \quad (8)$$

Цей випадок (збільшення d) може фізично реалізуватись у гетероструктурах зі спадним характером розбіжності параметрів ґраток на межі ($\frac{\Delta a}{a} \simeq \frac{b}{d} \rightarrow 0$).

Спектр електрона в деформаційній потенціальній ямі (7) стінки дислокацій знаходимо з рівняння Шредингера

$$\hat{H}\Psi_{n,\rho,m}(\rho, \varphi, z) = E\Psi_{n,\rho,m}(\rho, \varphi, z), \quad (9)$$

де

$$\hat{H} = -\alpha^* \left[\frac{\partial^2}{\partial \rho^2} + \frac{1}{\rho} \frac{\partial}{\partial \rho} + \frac{\partial^2}{\partial z^2} + \frac{1}{\rho^2} \frac{\partial^2}{\partial \varphi^2} \right] + \bar{V}_{mech.}(\rho) \quad (10)$$

— гамільтоніян електрона в полі деформаційного потенціалу (7) стінки дислокацій, напрям яких збігається з віссю Z (рис. 1), записаний у циліндричній

системі координат; $\alpha^* = \frac{\hbar^2}{2m^*}$.

Власні функції оператора \hat{H} можна записати у вигляді

$$\Psi_{n,\rho,m}(\rho, \varphi, z) = R_{n,\rho|m|}(\rho) \exp[i(m\varphi + k_z z)], \quad (11)$$

де $m = 0, \pm 1, \pm 2, \pm 3, \dots$. Функція $R_{n,\rho|m|}(\rho)$ при $E_{n,\rho|m|} < 0$ задовольняє рівняння

$$-\alpha_{||}^* \left[\frac{d^2}{d\rho^2} + \frac{1}{\rho} \frac{d}{d\rho} - \frac{m^2}{\rho^2} \right] R_{n,\rho|m|}(\rho) + \bar{V}_{mech.}(\rho) R_{n,\rho|m|}(\rho) = E_{n,\rho|m|} R_{n,\rho|m|}(\rho), \quad (12)$$

де $\alpha_{||}^* = \frac{\hbar^2}{2m_{||}^*}$, $m_{||}^*$ — ефективна маса носіїв у площині нарощуваного шару ZnSe.

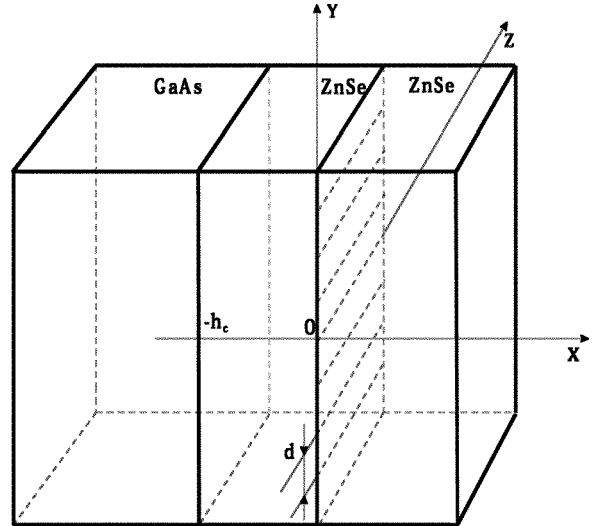


Рис. 1. Схематичне зображення гетероепітаксійного шару ZnSe зі стінкою краєвих дислокацій на підкладці GaAs (100). Штриховими лініями позначено стінку краєвих дислокацій, відстань між якими d .

З урахуванням конкретного вигляду потенціалу (7) і крайових умов

$$R_{n,\rho|m|}(0) = 0, \quad R_{n,\rho|m|}(+\infty) = 0 \quad (13)$$

розв'язок рівняння (12) матиме вигляд [9,10]

$$R_{n,\rho|m|}(\rho) = \begin{cases} C_1 J_{|m|} \left(\sqrt{\frac{1}{\alpha_{||}^*} \left(|a_c| U_0 \frac{\text{ctg}(\pi a_1/d)}{d} - |E_{n,\rho|m|} \right)} \cdot \rho \right), & 0 < \rho < d \\ C_2 K_{|m|} \left(\sqrt{\frac{1}{\alpha_{||}^*} |E_{n,\rho|m|}|} \cdot \rho \right), & \rho > d \end{cases}, \quad (14)$$

де $K_{|m|}$ — функція Макдональда, $J_{|m|}$ — функція Бесселя.

Умови неперервності хвильової функції (14) і її похідної в точці $\rho = d$ приводять до співвідношення

$$\begin{aligned} & \sqrt{|E_{n\rho|m}|} |J_{|m|} \left(\sqrt{\frac{d^2}{\alpha_{||}^*} \left(|a_c| U_0 \frac{\text{ctg}(\pi a_1/d)}{d} - |E_{n\rho|m}| \right)} \right) K'_{|m|} \left(\sqrt{\frac{d^2}{\alpha_{||}^*} |E_{n\rho|m}|} \right) \\ &= \sqrt{|a_c| U_0 \frac{\text{ctg}(\pi a_1/d)}{d} - |E_{n\rho|m}|} |J'_{|m|} \left(\sqrt{\frac{d^2}{\alpha_{||}^*} \left(|a_c| U_0 \frac{\text{ctg}(\pi a_1/d)}{d} - |E_{n\rho|m}| \right)} \right) \cdot K_{|m|} \left(\sqrt{\frac{d^2}{\alpha_{||}^*} |E_{n\rho|m}|} \right), \end{aligned} \quad (15)$$

з якого визначають енергетичні рівні дискретного спектра $\left(-|a_c| U_0 \frac{\text{ctg}(\pi a_1/d)}{d} < E_{n\rho|m} < 0 \right)$.

Розглянемо випадок неглибокої потенціальної ями

$$k_0 d \ll \text{tg}(\pi a_1/d), \quad (16)$$

де $k_0 = \frac{2|a_c|}{\alpha_{||}^*} U_0$.

Для цього випадку аргументи циліндричних функцій у співвідношенні (15) малі. При $m = 0$ з урахуванням формул

$$J_0(x) \approx 1, \quad J'_0(x) \approx -\frac{x}{2}, \quad K_0(x) \approx \ln\left(\frac{2}{x}\right), \quad K'_0(x) \approx -\frac{1}{x},$$

справедливих при $x \ll 1$, співвідношення (15) набуває вигляду

$$\frac{d^2}{4\alpha_{||}^*} \left(|a_c| U_0 \frac{\text{ctg}(\pi a_1/d)}{d} - |E_{n\rho 0}| \right) \ln \left(\frac{4\alpha_{||}^*}{d^2 |E_{n\rho 0}|} \right) \approx 1. \quad (17)$$

З розв'язку рівняння (17) можна отримати енергію основного стану електрона E_{00} залежно від d — відстані між дислокаціями невідповідності в ZnSe/GaAs. На рис. 2 наведені чисельні розрахунки такої залежності. З нього випливає, що при значеннях d більших, ніж 14 Å, енергія E_{00} має немонотонний характер. Таку її поведінку, очевидно, можна пояснити тим, що з ростом d відбувається аналогічна зміна профілю потенціальної ями (7), створеної стінкою дислокацій. При цьому мінімальне значення E_{00} досягається при $d = 29$ Å і дорівнює -45 meV.

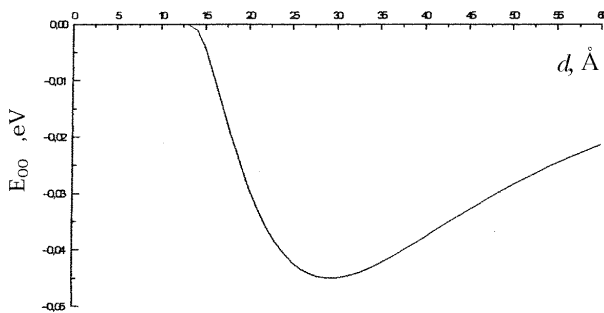


Рис. 2. Зміна енергії основного стану електрона E_{00} залежно від відстані d між дислокаціями невідповідності.

На експерименті така зміна енергії основного стану електрона від d , очевидно, повинна проявитись на зміщенні піка енергії $h\nu$ при резонансній екситонній люмінесценції [1]. Зокрема, для гетероструктур ZnSe/GaAs і ZnSe/ZnS, $h\nu_{\text{ZnSe/GaAs}} < h\nu_{\text{ZnSe/ZnS}}$, оскільки $\frac{\Delta a}{a} = \frac{b}{d}$ для ZnSe/GaAs становить приблизно 0.5%, а для ZnSe/ZnS $\approx 4\%$.

Таким чином, у межах цієї моделі задачі можна зробити такі висновки:

1. При великій відстані між дислокаціями невідповідності $\left(\frac{d}{a_1} \gg 1 \right)$ потенціальну деформаційну яму описуємо виразом

$$\bar{V}_{\text{mech.}}(d \rightarrow \infty) = -\frac{|a_c| U_0}{\pi a_1}.$$

2. У гетероструктурах з дислокаціями невідповідності енергія основного стану електрона залежно від міждислокаційної відстані d змінюється немонотонно.

- [1] М. С. Бродин, В. В. Тищенко, Н. В. Бондарь, А. В. Коваленко, А. Ю. Мекекечко, Укр. фіз. журн. **37**, 1802 (1992).
- [2] T. Yao, Y. Okado, S. Matsui, K. Ishida, J. Cryst. Growth **81**, 518 (1987).
- [3] K. Shahzad, Phys. Rev. B **38**, 8309 (1988).
- [4] Л. А. Пастур, Э. П. Фельдман, Физ. тверд. тела **14**, 2689 (1972).
- [5] М. А. Разумова, В. Н. Хотяинцев, Физ. тверд. тела **31**, 275 (1989).
- [6] А. М. Габович, Физ. мет. металлов. **51**, 1113 (1981).
- [7] Н. В. Фомин, Д. В. Шанцев, Физ. тверд. тела **38**, 76 (1996).
- [8] G. Chris, Van de Walle, Phys. Rev. B **39**, 1871 (1989).
- [9] М. В. Ткач, В. П. Жаркой, О. М. Маханець, Укр. фіз. журн. **42**, 493 (1997).
- [10] В. М. Галицкий, Б. М. Карнаков, В. И. Коган, *Задачи по квантовой механике* (Наука, Москва, 1981).

**DEPENDENCE OF ELECTRON SPECTRUM OF THE ZnSe/GaAs
STRAINED HETEROSTRUCTURE ON THE DISTANCE
BETWEEN MISFIT DISLOCATIONS**

R. M. Peleshchak¹, B. A. Lukiyanets², V. P. Tupychak¹
¹*Ivan Franko Drohobych State Pedagogical University,
24 I. Franko Str., Drohobych, UA-82100, Lviv Region, Ukraine*
²*State University "Lvivska Polytechnica", Department of Physics,
12 Bandery Str., Lviv, UA-79013, Ukraine*

In the framework of deformation potential model the dependence of average deformation potential induced by the dislocation wall on the inter-dislocation distance d is obtained. It is shown that in the heterostructure with misfit dislocation the electron energy of ground state non-monotonously depends on d .